

РАСПРОСТРАНЕНИЕ ОПТИЧЕСКИХ ВОЛН

УДК 621.391.2

Влияние погодных условий на параметры короткого лазерного импульса, отраженного атмосферой

Б.Д. Борисов¹, В.В. Белов^{1,2*}

¹Институт оптики атмосферы им. В.Е. Зуева СО РАН

634021, г. Томск, пл. Академика Зуева, 1

²Томский государственный университет

6340034, г. Томск, пр. Ленина, 36

Поступила в редакцию 8.12.2010 г.

Экспериментально изучена трансформация (амплитуды, длительности и формы) коротких лазерных импульсов после их взаимодействия с атмосферой в зимне-весенний период. Импульсы генерировались лазером на парах бромида меди. Отраженные от фиксированного рассеивающего объема оптические сигналы регистрировались и принимались непосредственно на цифровой осциллограф с возможностями их осреднения. Получены данные о связях амплитуды импульсов с состоянием атмосферы, об их форме и длительности.

Ключевые слова: лазер, отраженный импульс, атмосфера, оптическая связь; laser, reflected impulse, atmosphere, optical communication.

Введение

Передача информации оптическими методами имеет давнюю историю (береговые маяки, корабельная оптическая связь, «оптический телеграф», изобретенный в конце XVIII в.) [1]. Современные, так называемые «открытые оптические системы связи», построенные на лазерах, используются большей частью для передачи информации в пределах прямой видимости передатчика и приемника. В приземном слое атмосферы оптический сигнал может сильно затухать в сложных атмосферных ситуациях. К помехам, ухудшающим прием оптических сигналов, можно отнести, например, дым, пыль, туман, снегопад и другие атмосферные явления. В слабо замутненной атмосфере передача информации с помощью узкого лазерного пучка отягощена значительным влиянием атмосферной турбулентности. При прочих искажениях пучка даже на небольших трассах турбулентность приводит к «беганию» пучка по апертуре приемника. Для более надежного приема сигнала в различных погодных условиях рассматриваются и применяются разнообразные системы оптической связи. Наряду с прямым пучком, несущим информацию, предлагается использовать рассеянное в направлении вперед излучение [2]. Несмотря на возникающие препятствия в развитии оптических схем связи, в настоящее время ведутся исследования и внедряются новые технические решения в реализациях открытых оптических систем передачи информации [3–11].

О необходимости создания систем лазерной связи, способных работать вне пределов прямой види-

мости, речь ведется довольно давно — по сути, со времени появления первых лазеров. Сама идея лазерной связи такого типа, или как ее еще называют «загоризонтная лазерная связь», по всей видимости, возникла по аналогии с ионосферной связью на радиоволнах (рис. 1).

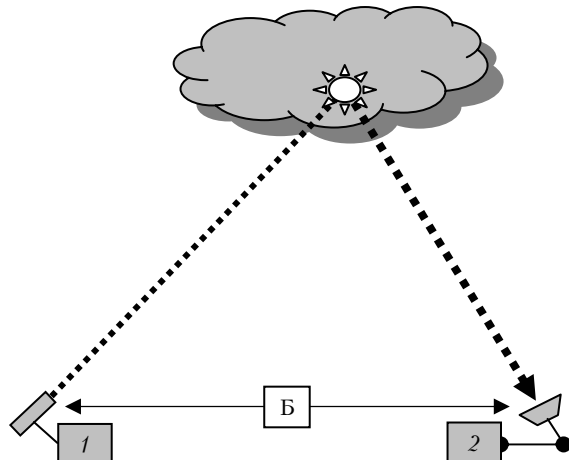


Рис. 1. Схематическое изображение передачи оптической информации через облачный «ретранслятор»: 1 — лазерный передатчик с устройством импульсного кодирования информации; 2 — приемник сигналов, отраженных и рассеянных облачной средой с устройством декодирования; Б — базовое расстояние между передатчиком и приемником

Возникновению загоризонтной связи способствовали также исследования по зондированию атмосферы с помощью оптического излучения, интенсивно проводившиеся до 60-х гг. XX в. [12, 13]. Появление лазеров привело к созданию разнообразных схем бистатического зондирования атмосферы — прямых прообразов загоризонтной лазерной связи [14–18].

* Борис Дмитриевич Борисов; Владимир Васильевич Белов (belov@iao.ru).

Таким образом, системы оптической связи, принимающие сигнал через «ретранслятор», в качестве которого может быть не только аэрозольно-газовая атмосфера, но и облачная среда или какие-либо другие дисперсные среды, способны осуществлять оптическую связь вне зоны прямой видимости передатчика и приемника. Такие системы связи могут быть построены не только на рассеивающих свойствах тропосферы. В верхних слоях атмосферы ретрансляция информационного сигнала возможна посредством использования искусственных рассеивающих образований. Протяженный диффузный рассеивающий объект, подсвечененный лазерным источником, может создавать излучение в любом направлении, и наряду с функцией формирователя опорного излучателя адаптивных систем наблюдения (опорных звезд) [19, 20] возможно его использование для перенаправления оптической информации в системах связи.

В настоящей статье приводятся результаты предварительных экспериментов, посвященных изучению трансформации отраженных атмосферой коротких оптических импульсов в зависимости от изменяющихся метеорологических (погодных) условий в весенне-зимнее время года.

Аппаратура и методика измерений

Экспериментальные работы проводились по схеме, подобной схеме бистатического зондирования с малым ($B = 2$ м) базовым расстоянием (см. рис. 1).

Причин выбора такой схемы исследований было несколько: 1) зимнее время года, когда в Сибирском регионе довольно низкие температуры, и 2) ночные условия; 3) в индикаторах рассеяния атмосферного воздуха при наличии в нем аэрозоля всегда можно найти равнозначные по интенсивности направления для углов рассеяния в заднюю и переднюю полусферы.

Измерения проводились с начала февраля по первую неделю апреля 2010 г. Источником излучения (рис. 2) был выбран лазер на парах бромида меди 1, который одновременно генерировал две длины волн — 0,51 и 0,58 мкм.

Выбор такого лазера был вызван особенностью схемы питания, которая позволяла управлять его излучением [21], а также простотой обслуживания. Располагался источник излучения в помещении, находящемся на пятом этаже башни экспериментального корпуса ИОА СО РАН. Там же находились цифровой осциллограф 2 и телевизионный монитор 3.

Излучение лазера без коллимации выводилось в атмосферу с помощью поворотного зеркала Z_1 . Второе поворотное зеркало Z_2 находилось на открытой террасе башни и служило для направления излучения в выбранную точку небосвода. Приемная система 4 состояла из объектива МТО-1000 с диаметром объектива ~ 100 мм, пары фильтров ЗС-7 и ЗС-8, частично подавлявших фоновое излучение, и фотодетектора ФЭУ-84. Угол зрения приемной системы составлял $\sim 1^\circ$. Применение фильтров давало возможность проводить измерения в начальной стадии сумеречного фона.

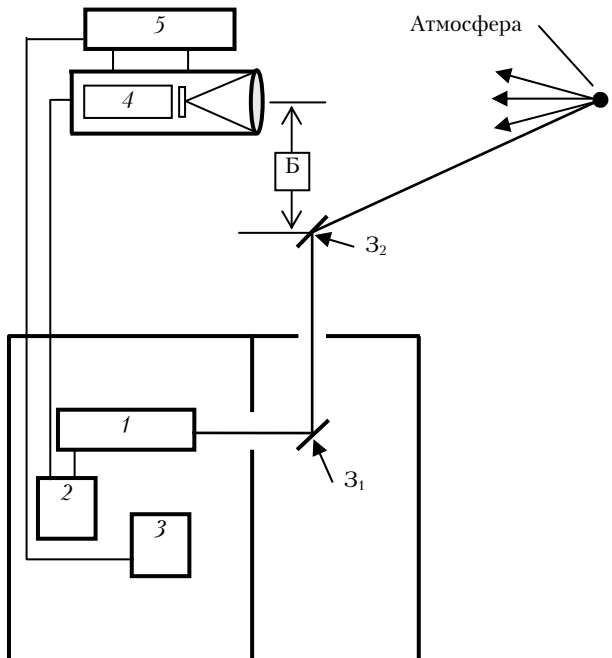


Рис. 2. Упрощенная схема эксперимента: 1 — лазер; 2 — осциллограф; 3 — монитор; 4 — приемник; 5 — телекамера; Z_1 и Z_2 — поворотные зеркала; Б — расстояние между источником и приемником

Непосредственно на корпусе приемной системы располагалась телевизионная камера 5, служившая для визуального контроля атмосферной ситуации и настройки. Приемная система вместе с телевизионной камерой устанавливались на дистанционно управляемом поворотном устройстве, также расположенным на открытой террасе. Угол входа лазерного излучения в атмосферу (расходимость пучка $\sim 0,26^\circ$) относительно горизонтальной плоскости референции составлял $\sim 15^\circ$. Приемная система настраивалась таким образом, чтобы в ее поле зрения попадал рассеянный в атмосфере лазерный пучок вблизи той его части, где из точки визирования визуально яркость пучка не воспринималась. Выбранная геометрическая схема фиксировалась, контролировалась и поддерживалась в процессе проведения работ. Отраженный сигнал, зарегистрированный фотодетектором, поступал непосредственно на один из каналов цифрового осциллографа DS-1150 с полосой 150 МГц. На второй канал осциллографа подавался опорный сигнал от лазера. В экспериментах лазер работал на частоте 16 кГц с полушириной импульса (ширина импульса на уровне половины максимальной амплитуды) ~ 20 нс.

Контроль относительной мощности излучения лазера показал, что для данного типа лазера с увеличением времени прогрева мощность излучения сначала медленно растет, затем медленно падает и выходит на относительно стабильный уровень. Это вызывало необходимость тщательного прогрева аппарата перед измерениями.

Ввиду того что осциллограф не был связан с компьютером, использовались ресурсы, заложенные в самом осциллографе. Устройство осциллографа давало

возможность получать осредненные за время T значения сигналов и записывать обработанные значения в его память. При одном цикле измерений можно было записать 10 осредненных значений сигнала (т.е. 10 осциллограмм). В среднем на один цикл записи уходило 15 мин времени. В дальнейшем полученные осциллограммы вводились в компьютер с экрана осциллографа посредством телевизионной камеры через адаптер типа AverMedia EZCapture. Примеры осциллограмм с осреднением и без него приведены на рис. 3, *a*, *b*.

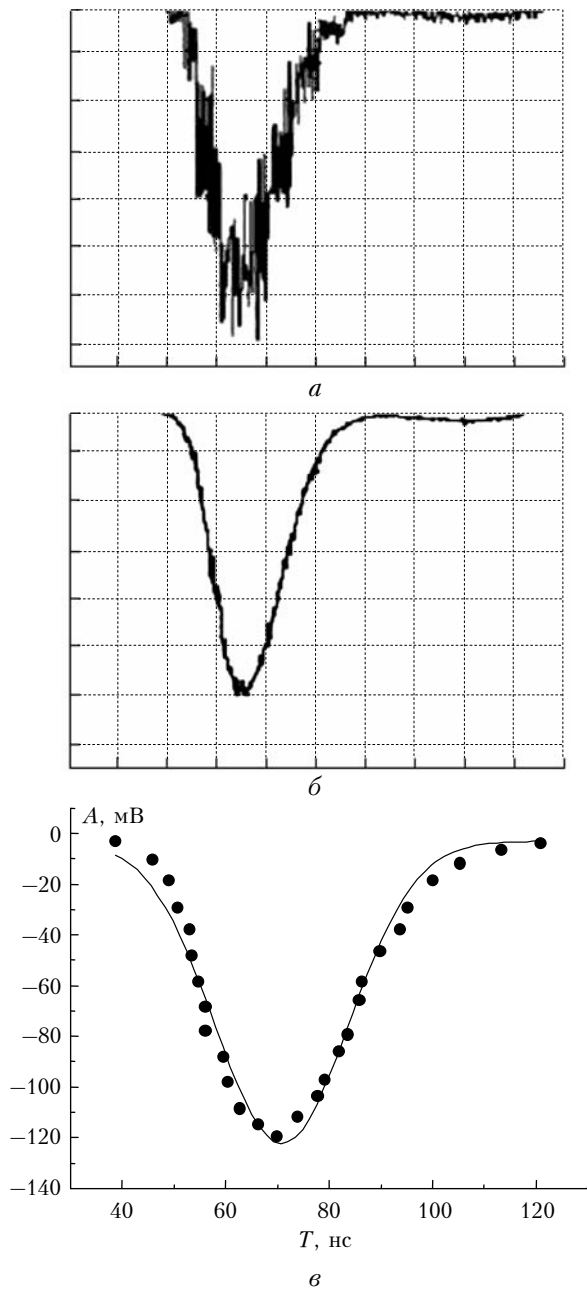


Рис. 3. Осциллограммы импульсов без применения (*а*) и с применением (*б*) осредняющей процедуры (цена делений на осциллограммах: по осям ординат – 20 мВ, по осям абсцисс – 20 нс); *в* – пример аппроксимирующей кривой, найденной по осциллограмме, подобной осциллограмме на рис. 3, *б*

Далее записанные сигналы подвергались обработке специальной программой, позволяющей определять средние амплитуды импульсов, их полуширины, фронты и срезы [22]. Измеренные параметры импульсов анализировались в зависимости от метеорологических параметров атмосферы. Источниками этих данных являлись две постоянно действующие станции: 1) аэрозольная станция лаборатории оптики аэрозолей, которая находится на третьем этаже главного корпуса ИОА СО РАН на расстоянии около 130 м от места проведения экспериментов; 2) TOR-станция лаборатории климатологии атмосферного состава, удаленная примерно на 500 м. Использование данных измерений в пространственно разнесенных точках позволяло более объективно проводить оценку метеосостояния атмосферы.

Эксперименты разделялись на две серии: по атмосферным условиям и по локальным целям работы. Первая серия характеризуется повышенным вниманием к зависимостям параметров отраженного сигнала от метеоусловий атмосферы, которые в основном определяют оптическую погоду [23]. В этой же серии экспериментов приемная аппаратура имела несколько завышенное время релаксации, что ухудшало форму выходного сигнала.

Известно, что фотоэлектронный умножитель (ФЭУ) является идеальным источником тока. Его эквивалентную схему можно найти в работе [24]. Согласно этой схеме постоянная времени ФЭУ определяется его внутренним сопротивлением и емкостью, а также нагрузочным сопротивлением и емкостью на выходе. Комбинируя конечные элементы схемы, при ее фиксированных внутренних параметрах можно получить различные формы импульсов. В первой серии экспериментов в силу технических причин применяющийся набор элементов схемы заведомо приводил к увеличению средней полуширины регистрируемого сигнала и снижению его амплитуды. Поскольку анализировалась зависимость амплитуды сигнала от метеоусловий, этот фактор не оказывал заметного влияния на поставленную локальную цель.

Результаты и обсуждение

Состояние атмосферы за время проведения первой серии экспериментов характеризуется устойчивой морозной погодой с малыми скоростями ветра ($1 < V_b < 3$ м/с) и достаточно низкими температурами окружающего воздуха ($-15 \dots -30$ °C) с потеплением в несколько дней ($-2 \dots -8$ °C). Относительная влажность в процессе работ по первой серии составляла 60–80%. По визуальным оценкам в большинстве этих дней в атмосфере присутствовала слабая зимняя дымка и в некоторые дни – ледяные кристаллы.

При ссылке на метеопараметры использовались средние данные по температуре и относительной влажности двух упоминавшихся выше станций. Оценку некоторых микрофизических и оптических характеристик атмосферного аэрозоля можно было получить только по данным локальных измерений аэрозольной станции. В частности, в период эксперимента

концентрация N аэрозольных частиц изменялась в диапазоне $12 < N < 55 \text{ см}^{-3}$ в течение практически всех дней первой серии и только в одном случае имелся всплеск концентрации до уровня 150 см^{-3} .

Результаты первой серии (амплитуды отраженных сигналов в зависимости от температуры окружающего воздуха в разные дни) представлены на рис. 4.

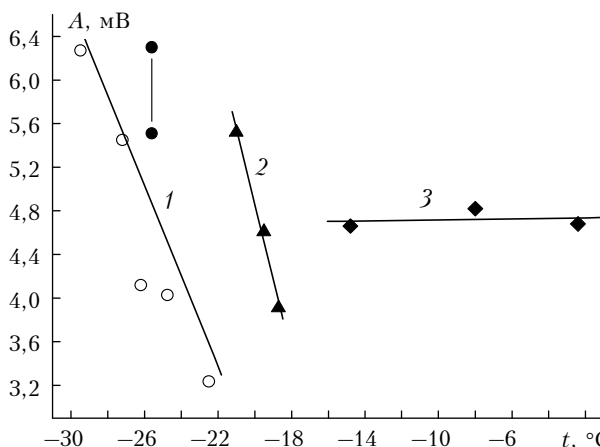


Рис. 4. Зависимость амплитуды отраженного импульса от температуры окружающего воздуха в различные дни (первая серия экспериментов, февраль 2010 г.): 1 — светлые кружочки (температура $-20 \dots -30^\circ\text{C}$, концентрация частиц $40 \dots 50 \text{ см}^{-3}$); жирные точки — изменение концентрации частиц от $40 \dots 50$ до 150 см^{-3} ; 2 — треугольники (температура $-18 \dots -21^\circ\text{C}$, концентрация частиц $12 \dots 20 \text{ см}^{-3}$); 3 — квадраты (температура $-2 \dots -14^\circ\text{C}$, концентрация частиц $15 \dots 30 \text{ см}^{-3}$)

В этой серии использовались 5 экспериментов из измерительного цикла с применением осредняющей процедуры осциллографа. Для получения одной точки на графике пять значений амплитуд в свою очередь осреднялись.

Использование температуры в качестве аргумента вызвано ее влиянием на создание большинства атмосферных ситуаций оптической погоды. Критерием, по которому оценивают и отличают присутствие в атмосфере дымки или ледяного тумана (т.е. наличие в воздухе мельчайших ледяных кристаллов), является температура в сочетании с относительной и абсолютной влажностями воздуха. В работе [25] отмечается, что условия для образования ледяных туманов в приземном слое атмосферы чаще всего возникают при температуре воздуха $t \leq -12^\circ\text{C}$. Анализ, проведенный в работе [26], показал, что образование ледяного тумана в атмосфере для Сибирского региона, как правило, возможно при температуре воздуха $t < -15^\circ\text{C}$ и относительной влажности 80–100%. В остальных случаях будут реализовываться ситуации оптической погоды, определяемые дымками или плотными дымками.

Из рис. 4 видно, что амплитуда импульса растет с понижением температуры воздуха (светлые кружочки). Согласно вышеупомянутым данным, одной из причин этого может являться повышение концентрации ледяных рассеивателей в регистрируемом

объеме. Регистрируемый объем формировался пересечением конуса визирования приемной системы с пучком рассеянного света, создаваемого лазерным лучом в атмосфере, по схеме, приведенной на рис. 1. Суммарное повышение концентрации рассеивателей (ледяных кристаллов и основ твердых частиц) в регистрируемом объеме с понижением температуры приводило к повышению амплитуды импульсов.

К сожалению, имеющиеся зимние данные о концентрации частиц относятся только к сухой основе вещества аэрозольных частиц и только частично отражают реальную ситуацию в атмосфере. Концентрация аэрозольных частиц в процессе эксперимента по дням для температур $-20 \dots -30^\circ\text{C}$ менялась слабо, находясь на уровне $40 \dots 50 \text{ см}^{-3}$. Тем не менее влияние сухой основы аэрозольных частиц можно проследить по рис. 4 (жирные точки). При практически равных температурах воздуха концентрация частиц сухой фракции в верхней точке превышала концентрацию в нижней более чем в 3 раза. Повышение сухой основы аэрозольных частиц в совокупности с ледяными кристалликами в атмосфере приводило к повышению величины отраженного сигнала (в данном случае на 13%). Треугольники относятся к диапазону температур $-18 \dots -21^\circ\text{C}$. Для этого диапазона также заметен рост амплитуды отраженного импульса с понижением температуры, хотя концентрация аэрозольных частиц сухой фракции составляет $12 \dots 20 \text{ см}^{-3}$. Температурный диапазон $-2 \dots -14^\circ\text{C}$ (квадраты) при $15 < N < 30 \text{ см}^{-3}$ не приводит к каким-либо заметным изменениям в амплитуде отраженного импульса.

Рост сигнала с понижением температуры может быть связан увеличением числа рассеивателей в регистрируемом атмосферном объеме. Поскольку трасса луча проходила над окраинной городской территорией и в непосредственной близости зоны выбросов труб ГРЭС, то причинами роста сигнала могли служить совместно влияние ГРЭС и повышенные общегородские выбросы пара и твердых частиц, живущие ядрами конденсации. С понижением температуры интенсивность выбросов увеличивалась.

По данным TOR-станции преимущественное направление ветра составляло $160 \dots 270^\circ$, т.е. ветровой перенос со стороны городских застроек и ГРЭС осуществлялся в сторону рабочей зоны. Атмосферное перемешивание и перемещение этих слоев в место расположения регистрируемого рассеивающего объема могли способствовать увеличению сигнала.

В дополнение к задачам первой серии цель второй серии заключалась в получении сведений о длительности и форме отраженных импульсов, которые близки к первоначальным лазерным импульсам, посыпаемым в атмосферу. Измерения этой серии приходятся на весенне-зимний период (конец марта — начало апреля).

Атмосферная ситуация в период второй серии измерений отличалась сравнительно неустойчивым ее состоянием и более теплой погодой с температурными перепадами окружающего воздуха $+4 \dots -10^\circ\text{C}$, концентрацией аэрозольных частиц $7 < N < 35 \text{ см}^{-3}$ и скоростями ветра $1,5 < V_{\text{в}} < 4,5 \text{ м/с}$.

На рис. 5, *a* приведены результаты, полученные в период измерений второй серии. Эти данные найдены посредством усреднения 10 осредненных значений сигналов, записанных в память осциллографа.

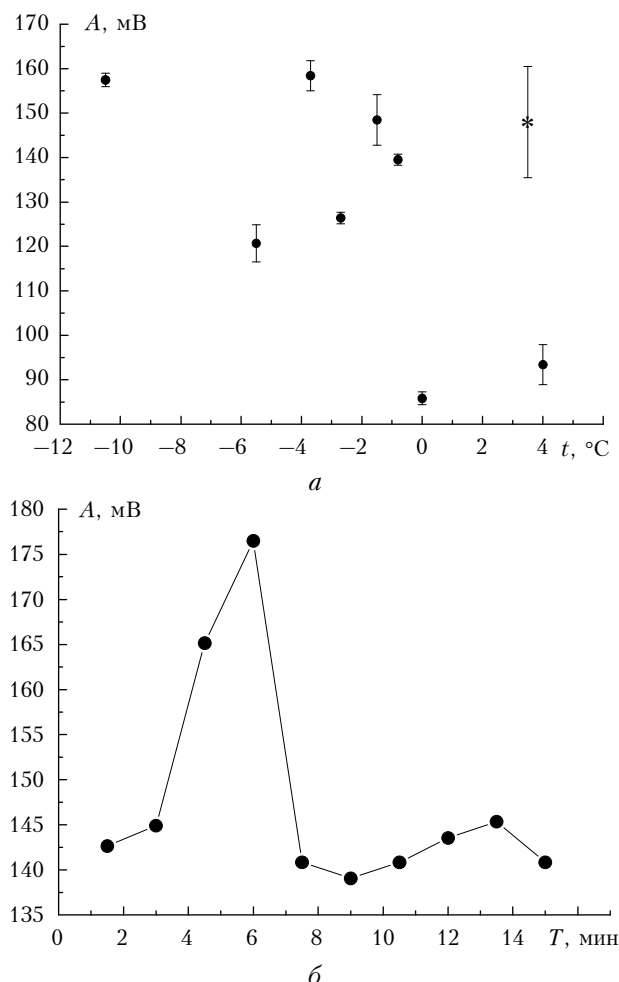


Рис. 5. Зависимость амплитуды импульсов от температуры ($+4 \pm 10^{\circ}\text{C}$), вторая серия экспериментов, март–апрель 2010 г. (линиями обозначено среднеквадратическое отклонение измерений) (*a*); распределение амплитуд импульсов (*b*) по времени, наблюдавшееся в точке, помеченной звездочкой

Видно, что какие-либо определенные закономерности в зависимостях амплитуды от погодных условий выявить затруднительно. Однако в условиях разнообразия метеоусловий возникают атмосферные ситуации, которые не проявляются в устойчивой атмосфере. На рис. 5, *a* звездочка характеризует всплеск амплитуды сигнала в измерениях в один из вечеров апреля ($t \sim +4^{\circ}\text{C}$, $N \sim 35 \text{ см}^{-3}$, $V_v \sim 3 \text{ м/с}$). Рис. 5, *b* отображает ход роста и спада принимаемого сигнала. Визуально было хорошо видно яркое свечение атмосферного объема в течение нескольких минут. Подчеркнем, что при визуальном наблюдении заметного замутнения атмосферы не отмечено. Свечение можно объяснить известным явлением, возникающим при вертикальном зондировании, — зеркальным отражением оптического излучения от

горизонтально ориентированных кристалликов льда [27–29]. В данном случае несферические частицы создают кратковременное зеркальное отражение, возможно, своими боковыми гранями.

Проведенный анализ длительности и формы импульсов показал следующее. В данной серии измерений найденные полуширины импульсов менялись сравнительно мало и равнялись (30 ± 2) нс. Что касается формы импульсов, то проведенная аппроксимация осредненных осциллограмм (см. рис. 3, *в*) позволяет сделать вывод о гауссовом распределении последних. Например, аппроксимирующая кривая нормального распределения (см. рис. 3, *в*), найденная по осциллограмме (см. рис. 3, *б*), имеет следующие параметры кривой: среднее значение ~ 71 нс и среднеквадратическое отклонение ~ 13 нс. Анализ погрешностей аппроксимации импульсов показал, что импульсы могут быть аппроксимированы законом нормального распределения с максимальными погрешностями от 25% на периферийных участках до 9% на вершинах импульсов.

Заключение

Проведенные эксперименты позволяют сделать вывод, что в разнообразных погодных условиях в ночные времена импульс излучения, отраженный зимней атмосферой, принимается достаточно уверенно. Влияние на амплитуду импульса может оказывать температура окружающего воздуха. В данных условиях эксперимента амплитуда импульса растет практически линейно с понижением температуры от -20 до -30°C при стабильной концентрации аэрозольных частиц (в нашем случае $40\text{--}50 \text{ см}^{-3}$). Повышение диапазона температур до -18°C сохраняет эту тенденцию. При температурах выше этого значения каких-либо закономерностей выявить не удается, но возможны кратковременные (несколько минут) повышения амплитуды отраженного сигнала.

Эксперименты показали, что, несмотря на неустойчивую погоду с различными температурами (плюсовую и минусовую), длительность импульсов меняется в пределах $\sim 1\%$. Форма импульсов подчиняется закону нормального распределения во всех рассмотренных нами случаях.

Авторы благодарят П.Г. Стafeева за помощь, оказанную при обработке экспериментальных результатов.

Работа выполнялась при поддержке Минобрнауки РФ, проект № 2.1.1/1333 АВЦП «Развитие научного потенциала высшей школы».

1. Украинцев Ю.Д., Цветов М.А. История связи и перспективы развития телекоммуникаций. Ульяновск: УлГТУ, 2009. 128 с.
2. Белов В.В., Борисов Б.Д., Серебренников А.Б. Передаточные свойства оптических каналов связи над отражающей поверхностью // Оптика атмосф. и океана. 1999. Т. 12, № 8. С. 669–673.
3. Кеннеди Р.С. Введение в теорию передачи сообщений по оптическим каналам с рассеянием // Труды Института инженеров по электротехнике и радиоэлектронике. 1970. Т. 58, № 10. С. 264–278.

4. Пожидаев В.Н. Выбор длины волны для систем загоризонтной связи в оптическом диапазоне // Радиотехн. и электрон. 1977. Т. 22, № 11. С. 2265–2271.
5. Mooradian G.C., Geller M., Stotts L.B., Stephens D.H., Krautwald R.A. Blue-green pulsed propagation through fog // Appl. Opt. 1979. V. 18, N 4. P. 429–441.
6. Mooradian G.C., Geller M., Levine P.H., Stotts L.B., Stephens D.H. Over-the-horizon optical propagation in a maritime environment // Appl. Opt. 1980. V. 19, N 1. P. 11–30.
7. Mooradian G.C., Geller M. Temporal and angular spreading of blue-green pulses in clouds // Appl. Opt. 1982. V. 21, N 9. P. 1572–1577.
8. Милютин Е.Р. Влияние среды распространения на полосу частот в загоризонтной оптической системе передачи информации // Радиотехн. и электрон. 2001. Т. 46, № 6. С. 673–675.
9. Wu B., Hajjarian Z., Kavehrad M. Free space optical communications through clouds: analysis of signal characteristics // Appl. Opt. 2008. V. 47, N 17. P. 3168–3176.
10. Кузяков Б.А. Анализ эффективности открытых систем связи ближнего и среднего ИК-диапазонов в гражданской авиации // Матер. VII Междунар. научно-техн. конф. INTERMATIC-2009. М., 2009. Ч. 4. С. 211–214.
11. Hajjarian Z., Fadlullah J. MIMO Free Space Optical Communications in Turbid and Turbulent Atmosphere // J. Commun. 2009. V. 4, N 8. P. 524–532.
12. Георгиевский Ю.С., Дривинг А.Я., Золотавина Н.В., Розенберг Г.В., Фейельсон Е.М., Хазанов В.С. Прожекторный луч в атмосфере. М.: Изд-во АН СССР, 1960. 244 с.
13. Розенберг Г.В. Оптические исследования атмосферного аэрозоля // Успехи физ. наук. 1968. Т. 95, вып. 1. С. 159–208.
14. Зуев В.Е. Лазер-метеоролог. Л.: Гидрометеоиздат, 1974. 177 с.
15. Исимару А. Распространение и рассеяние волн в случайно-неоднородных средах. М.: Мир, 1981. Ч. 1. 280 с.
16. Зуев В.Е., Нац И.Э. Обратные задачи лазерного зондирования атмосферы. Новосибирск: Наука, 1982. 242 с.
17. Barnes J.E., Bronner S., Beck R., Parikh N.C. Boundary layer scattering measurements with a charge-coupled device camera lidar // Appl. Opt. 2003. V. 42, N 15. P. 2647–2652.
18. Barnes J.E., Sharma P., Kaplan T.B. Atmospheric aerosol profiling with a bistatic imaging lidar system // Appl. Opt. 2007. V. 46, N 15. P. 2923–2929.
19. Лукин В.П. Лазерные опорные звезды для астрономических телескопов наземного базирования // Оптика и спектроскопия. 2001. Т. 91, № 6. С. 1011–1020.
20. Больбасова Л.А., Лукин В.П. Исследование эффективности применения лазерных опорных звезд // Оптика атмосф. и океана. 2009. Т. 22, № 8. С. 807–814.
21. Губарев Ф.А., Федоров В.Ф., Евтушенко Г.С., Тригуб М.В. Управление генерацией СиВт-лазера // Изв. Томского политехн. ун-та. 2009. Т. 315, № 4. С. 147–151.
22. Грязнов М.И., Гуревич М.Л., Рябинин Ю.А. Измерение параметров импульсов. М.: Радио и связь, 1991. 216 с.
23. Зуев В.Е., Белан Б.Д., Задде Г.О. Оптическая погода. Новосибирск: Наука, 1990. 192 с.
24. Морозов В.А., Морозова Н.В. Однокристальная спин-тилляционная временная спектрометрия // Физ. элементар. частиц и атом. ядра. 2001. Т. 32, вып. 2. С. 376–430.
25. Филиппов В.Л., Иванов В.П., Колобов Н.В. Динамика оптической погоды. Казань: Изд-во Казан. ун-та, 1986. 158 с.
26. Узегов В.Н., Пхалагов Ю.А., Щелканов Н.Н. Исследование аэрозольного ослабления оптического излучения в зимних условиях // Оптика атмосф. и океана. 1994. Т. 7, № 8. С. 1067–1076.
27. Галилейский В.П., Боровой А.Г., Матвиенко Г.Г., Морозов А.М. Зеркально отраженная компонента при рассеянии света на ледяных кристаллах с преимущественной ориентацией // Оптика атмосф. и океана. 2008. Т. 21, № 9. С. 773–778.
28. Галилейский В.П., Кауль Б.В., Матвиенко Г.Г., Морозов А.М. Угловая структура интенсивности света вблизи углов зеркального отражения от граней кристаллических частиц льда // Оптика атмосф. и океана. 2009. Т. 22, № 7. С. 643–649.
29. Маричев В.Н., Галилейский В.П., Кузьменков Д.О., Морозов А.М. Экспериментальные наблюдения зеркального отражения лазерного излучения от ориентированных кристаллических частиц, сосредоточенных в слое атмосферы // Оптика атмосф. и океана. 2009. Т. 22, № 12. С. 1145–1147.

[B.D. Borisov, V.V. Belov. Influence of weather conditions on the parameters of short laser pulses reflected from the atmosphere.]

The present work is devoted to experimental studies of transformation of short laser pulses after their interaction with the atmosphere in winter-spring season. The pulses were generated by a copper bromide vapor laser. Optical signals reflected from a fixed scattering volume were registered by and received directly on a digital oscilloscope capable of their averaging. In this work, data on the correlation of pulse amplitudes with the atmospheric state and pulse shape and duration are presented.